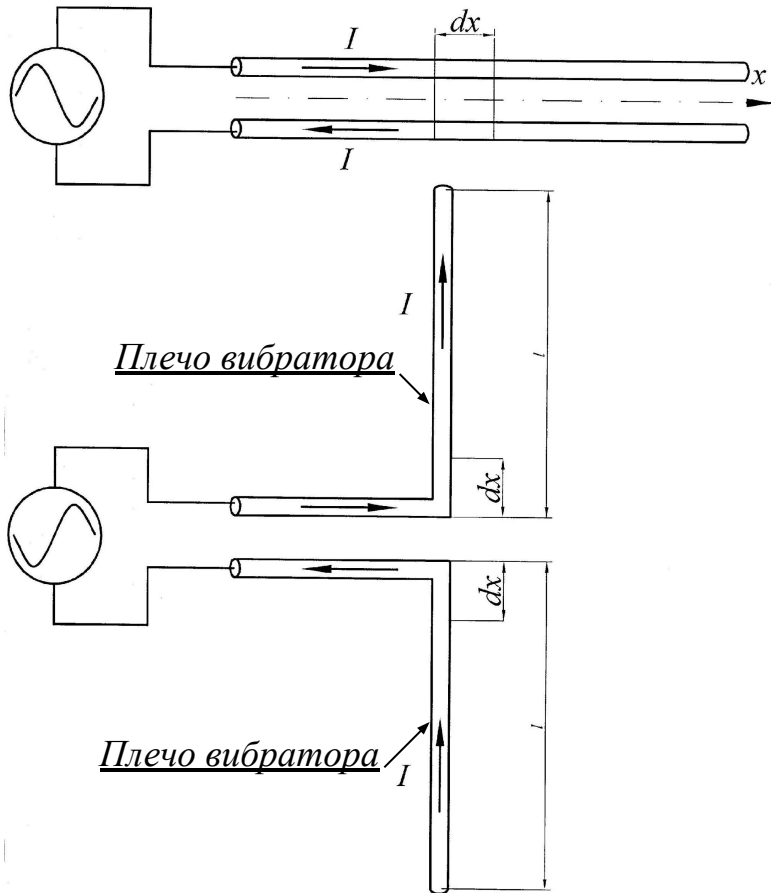
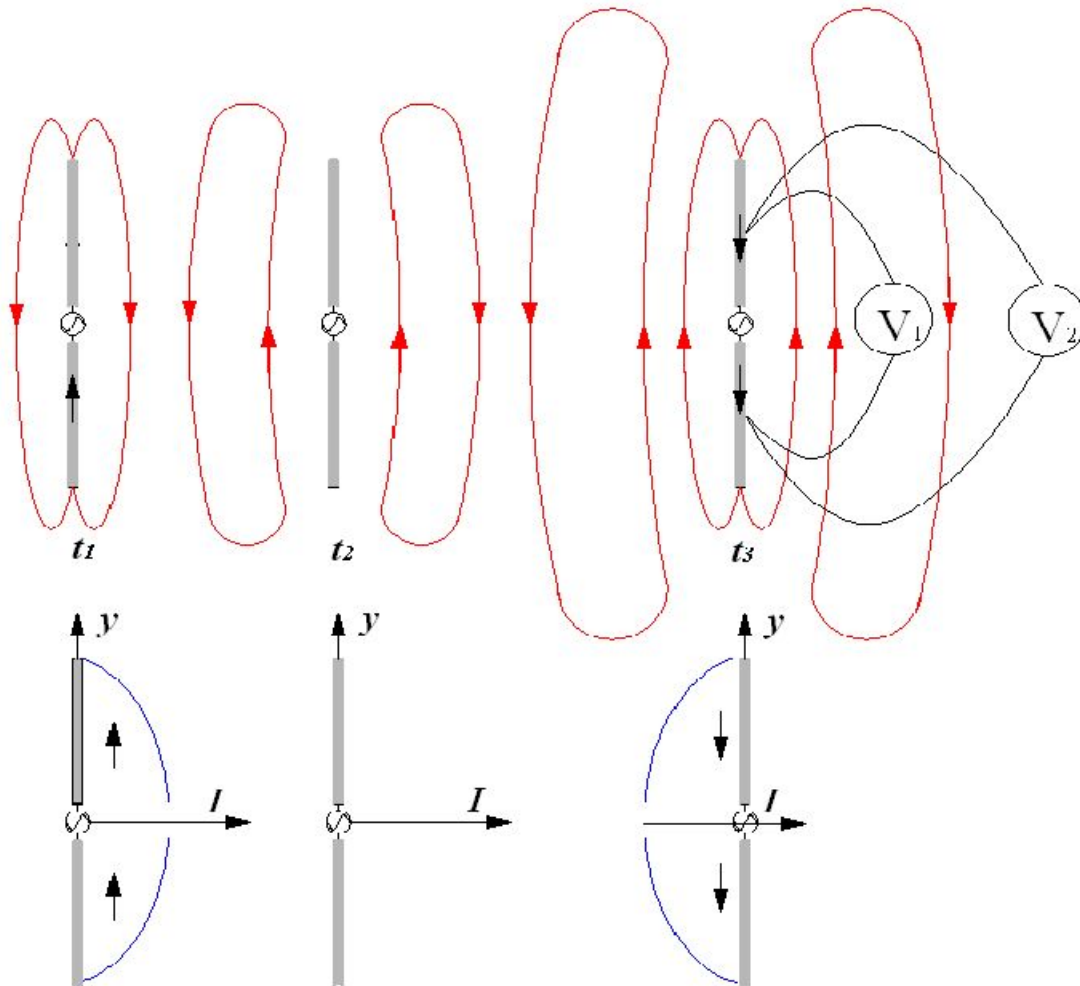


Физическая модель симметричного вибратора.



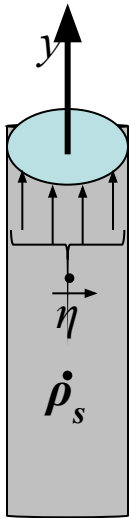
- Вдоль длинной линии удельная индуктивность и емкость остаются неизменными. Вдоль плеч вибратора эти величины меняются.
- В длинной линии потери отсутствуют. Плечи вибратора излучают ЭМВ – им соответствует линия с потерями.
- Распределение тока в разомкнутой на конце длинной линии описывается функцией $\text{SIN}(kx+\varphi)$. Распределение тока вдоль плеч вибратора отлично от синусоидального.
- Отличны значения волнового сопротивления

Формирование поля симметричным вибратором.



- Ток на концах плеч вибраторов равен 0.
- Моменты t_1 и t_3 соответствуют противоположному направлению тока.
- Поскольку поле вибратора **не потенциальное**, показания вольтметра зависят от его положения. Напряжение между симметричными точками на вибраторах не может быть однозначно определено.

Распределение тока по плечам вибратора. Волновое сопротивление



В длинной линии: $\dot{I}(y) = \dot{I}_m \sin(k(l-y));$ $k = 2\pi/\lambda$ - волновое число

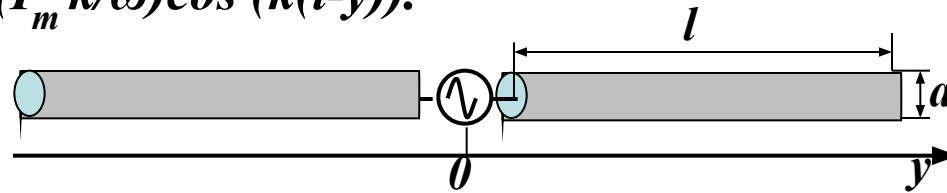
$U(y) = -iI_m \dot{W} \cos(k(l-y));$ W - волновое сопротивление

На плечах вибратора: $\text{div}(\dot{\vec{J}}) = -i\omega\dot{\rho} \rightarrow \text{div}(\dot{\vec{\eta}}) = -i\omega\dot{\rho}_s \rightarrow \partial\dot{I}/\partial y = -i\omega\dot{Q}$

\dot{I} - комплексная амплитуда тока, пересекающего периметр плеча;

\dot{Q} - комплексная амплитуда линейной плотности заряда.

$\dot{Q}(y) = -i(I_m k/\omega) \cos(k(l-y)).$



$\dot{I}(y) = \dot{I}_m \sin(k(l-y));$ для $y > 0$

$\dot{I}(y) = \dot{I}_m \sin(k(l+y));$ для $y < 0$

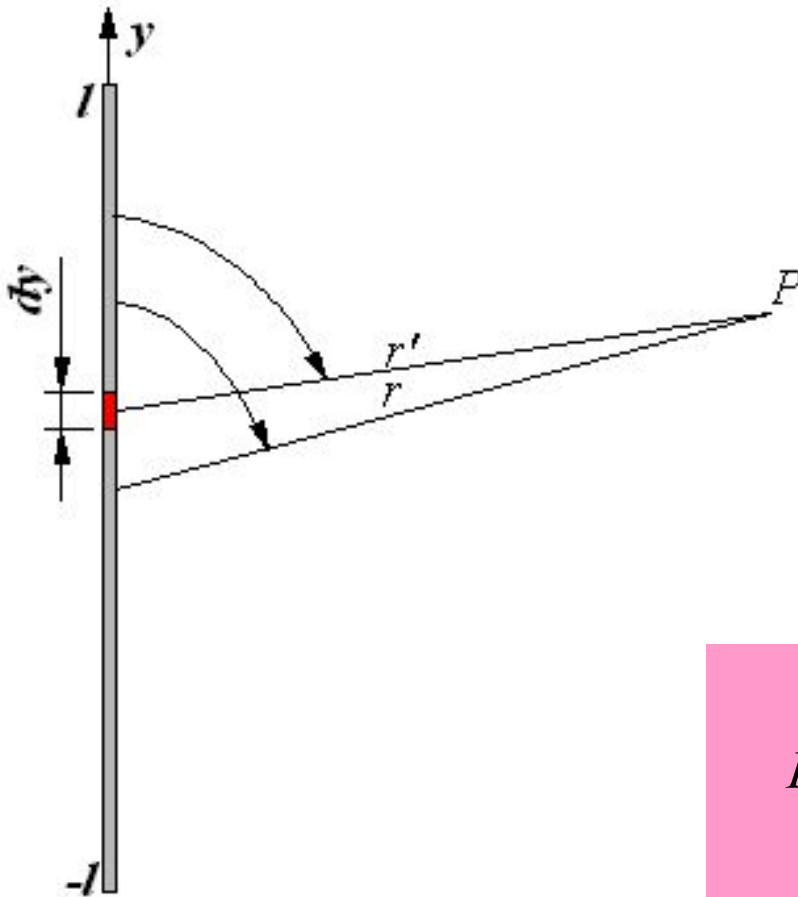
$\dot{U}(y) = -iI_m W/2 \cos(k(l-y));$ для $y > 0$

$\dot{U}(y) = iI_m W/2 \cos(k(l+y));$ для $y < 0$

Волновое сопротивление симметричного вибратора

$W = 120(\ln(l/a) - 1) \text{ Ом}$

Определение поля симметричного вибратора в дальней зоне.



$$dE_{\theta} = i30kA(y) \frac{\sin(\theta')}{r'} d\phi \Rightarrow$$

$$E_{\theta} = i30k \int_{-l}^l A(y) \frac{e^{-ikr'}}{r'} \sin(\theta') dx$$

$$r' = \sqrt{(r^2 + y^2 - 2yr \cos(\theta))} \approx r - y \cos(\theta).$$

$$E_{\theta} = i60k \sin(\theta) \frac{e^{-ikr}}{r} \int_0^l A(x) \cos(kl \cos(\theta)) dy.$$

После преобразований с учетом, что

$$A(y) = I_m \sin(k(l - y))$$

получим

$$E_{\theta} = i60I_m \frac{e^{-ikr}}{r} \frac{\cos(kl \cos(\theta)) - \cos(kl)}{\sin(\theta)}$$

Диаграмма направленности симметричного вибратора.

$$E_{\theta} = E_{\theta \max} e^{-ikr} f(\theta, \varphi);$$

$$E_{\theta \max} = i \frac{60kI_{\max}}{r}$$

$$f(\theta, \varphi) = \frac{\cos(kl \cos(\theta)) - \cos(kl)}{\sin(\theta)} \Rightarrow f_{\max}(\theta = \frac{\pi}{2}; \varphi) = 1 - \cos(kl).$$

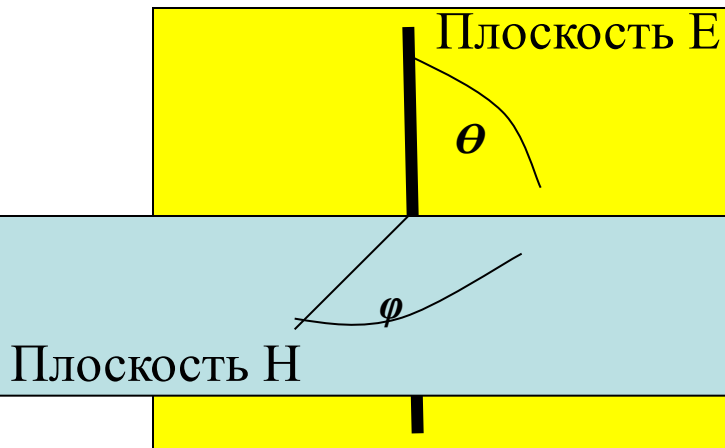
$$F(\theta, \varphi) = \frac{\cos(kl \cos(\theta)) - \cos(kl)}{\sin(\theta)(1 - \cos(kl))}$$

Диаграмма направленности в плоскости Н

$$F_H(\varphi) = F(\theta = \pi/2; \varphi) = 1;$$

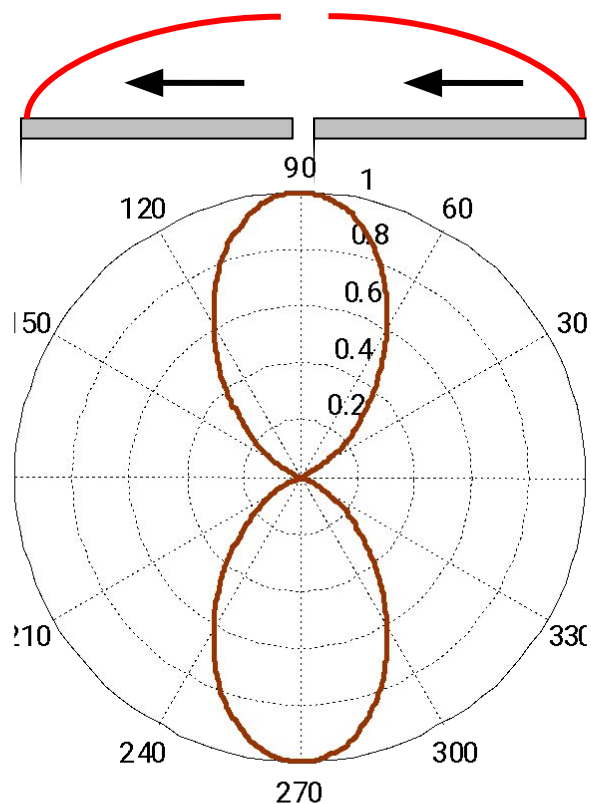
Диаграмма направленности в плоскости Е

$$F_E(\theta) = F(\theta; \varphi\text{-любое});$$



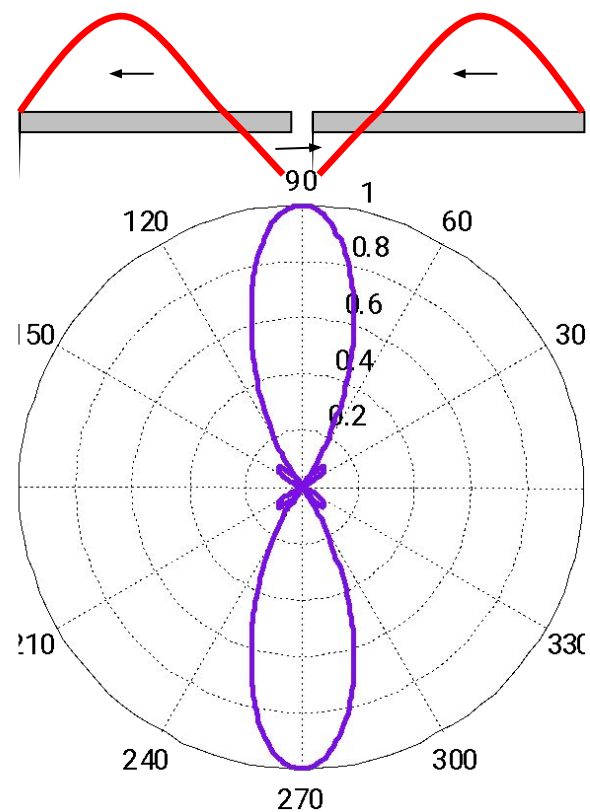
Диаграммы направленности симметричного вибратора в плоскости Е.

$$l/\lambda = 0.25$$



$$D = 1.64$$

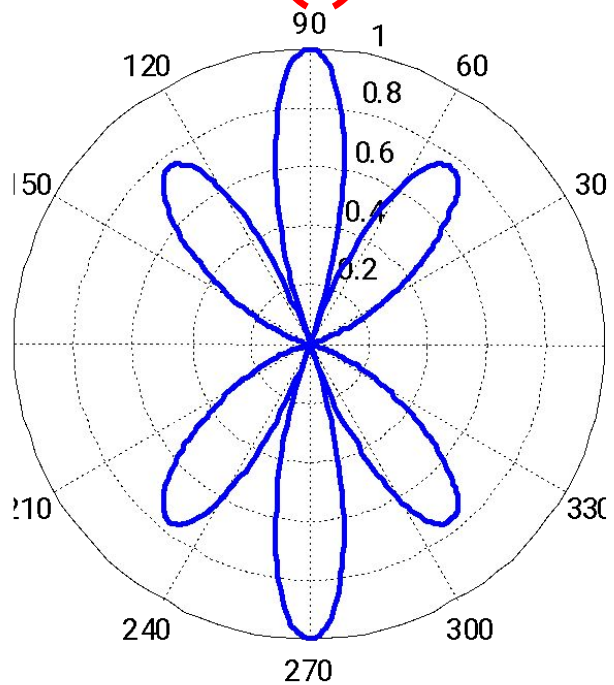
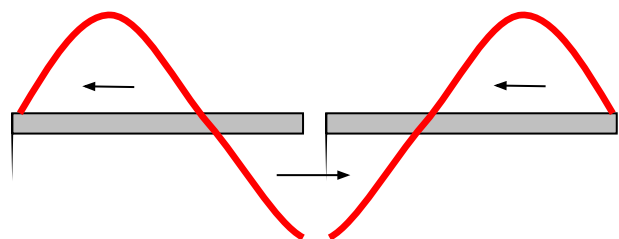
$$l/\lambda = 0.625$$



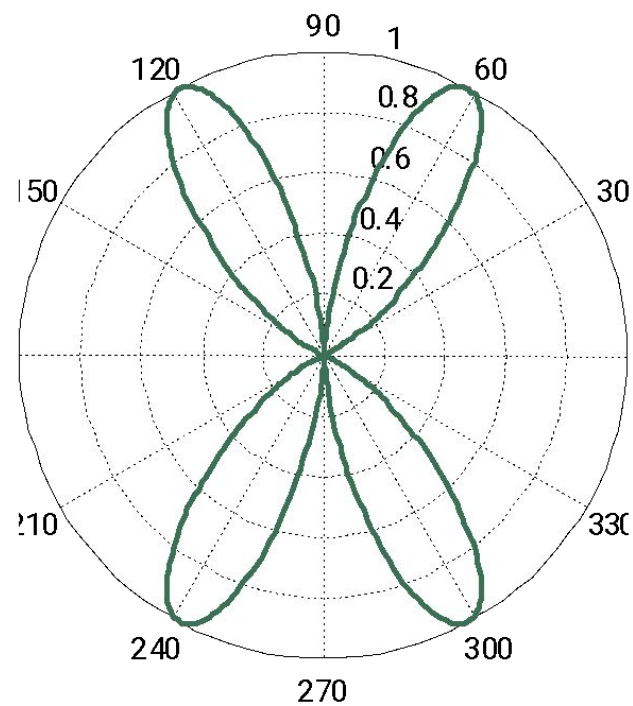
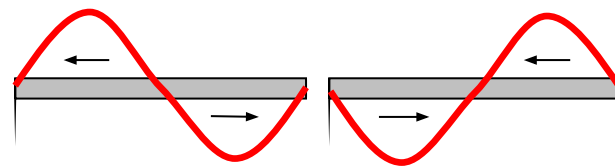
$$D = 3.2$$

Диаграммы направленности симметричного вибратора в плоскости Е.

$$l/\lambda = 0.75$$



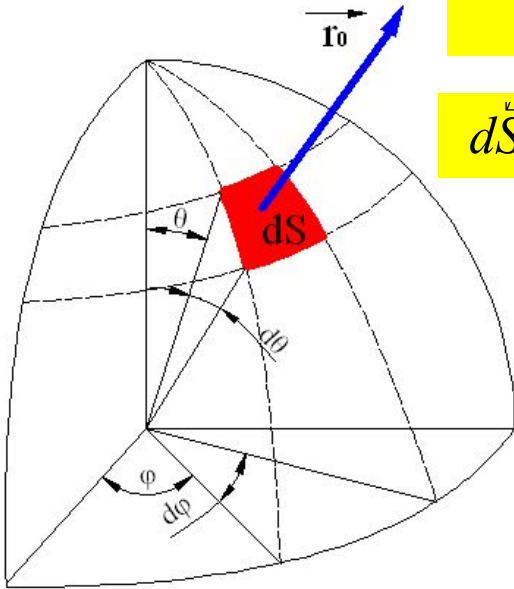
$$l/\lambda = 1$$



Сопротивление излучения симметричного вибратора.

$$P_{\Sigma} = \frac{1}{2} \oint_S \Pi_{cp} dS;$$

$$\Pi_{cp} = \operatorname{Re}\{\Pi\} = \begin{bmatrix} r_0 & \theta_0 & \varphi_0 \\ 0 & E_{\theta}^* & 0 \\ 0 & 0 & H_{\varphi} \end{bmatrix} = r_0 E_{\theta}^* H_{\varphi} = r_0 \frac{[E_{\theta}]^2}{240\pi};$$



$$dS = r_0^2 \sin(\theta) d\theta d\varphi$$

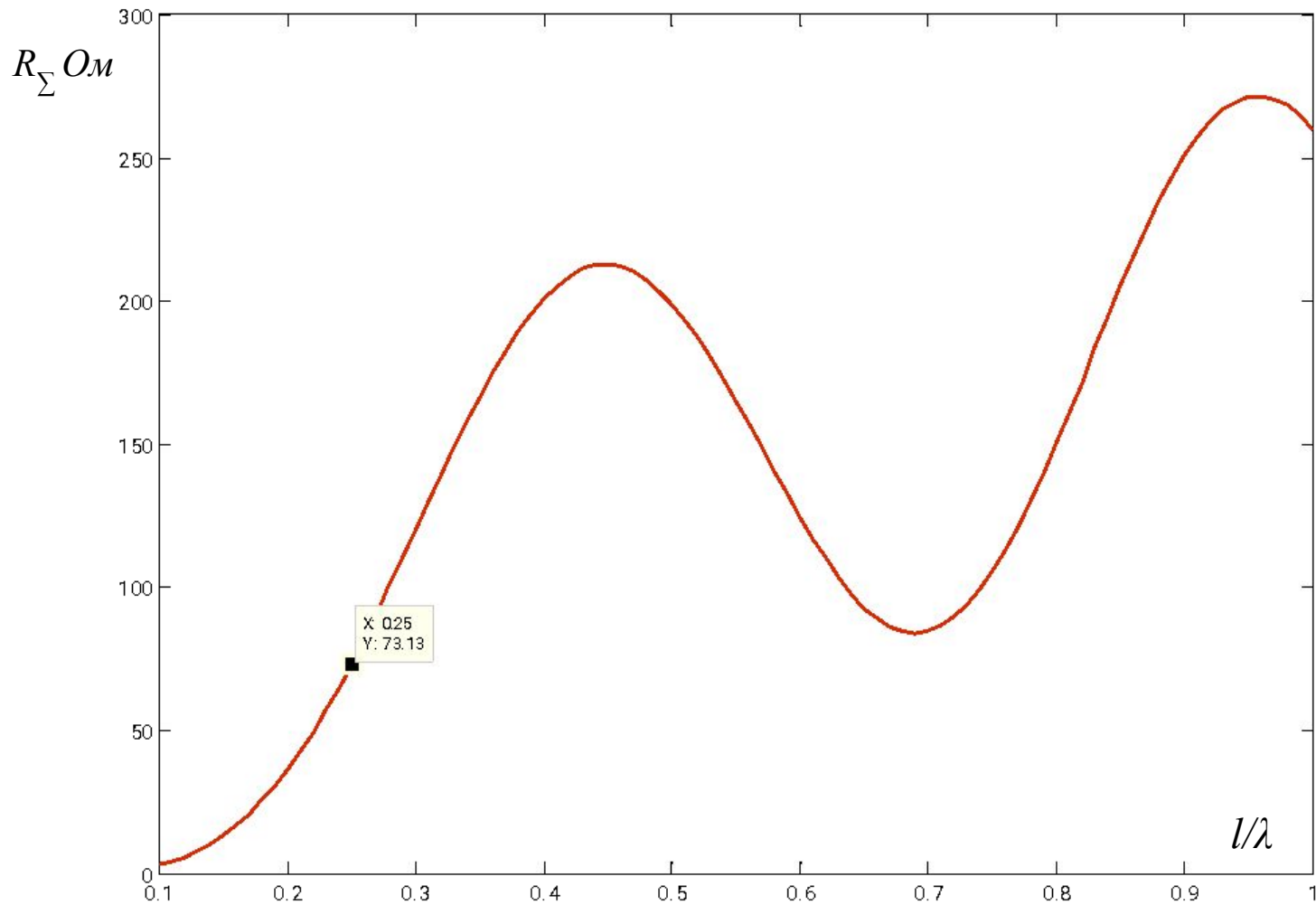
$$P_{\Sigma} = \frac{3600 A_{\max}^2}{240\pi} \int_0^{2\pi} \int_0^{\pi} \frac{(\cos(kl \cos(\theta)) - \cos(kl))^2}{\sin^2(\theta)} d\theta d\varphi =$$

$$= 30 A_{\max}^2 \int_0^{\pi} \frac{(\cos(kl \cos(\theta)) - \cos(kl))^2}{\sin^2(\theta)} d\theta$$

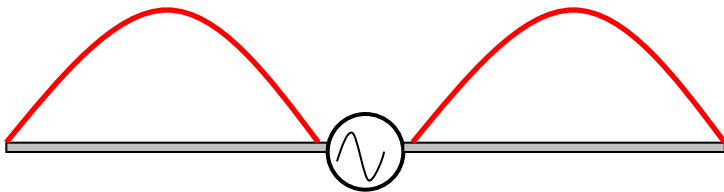
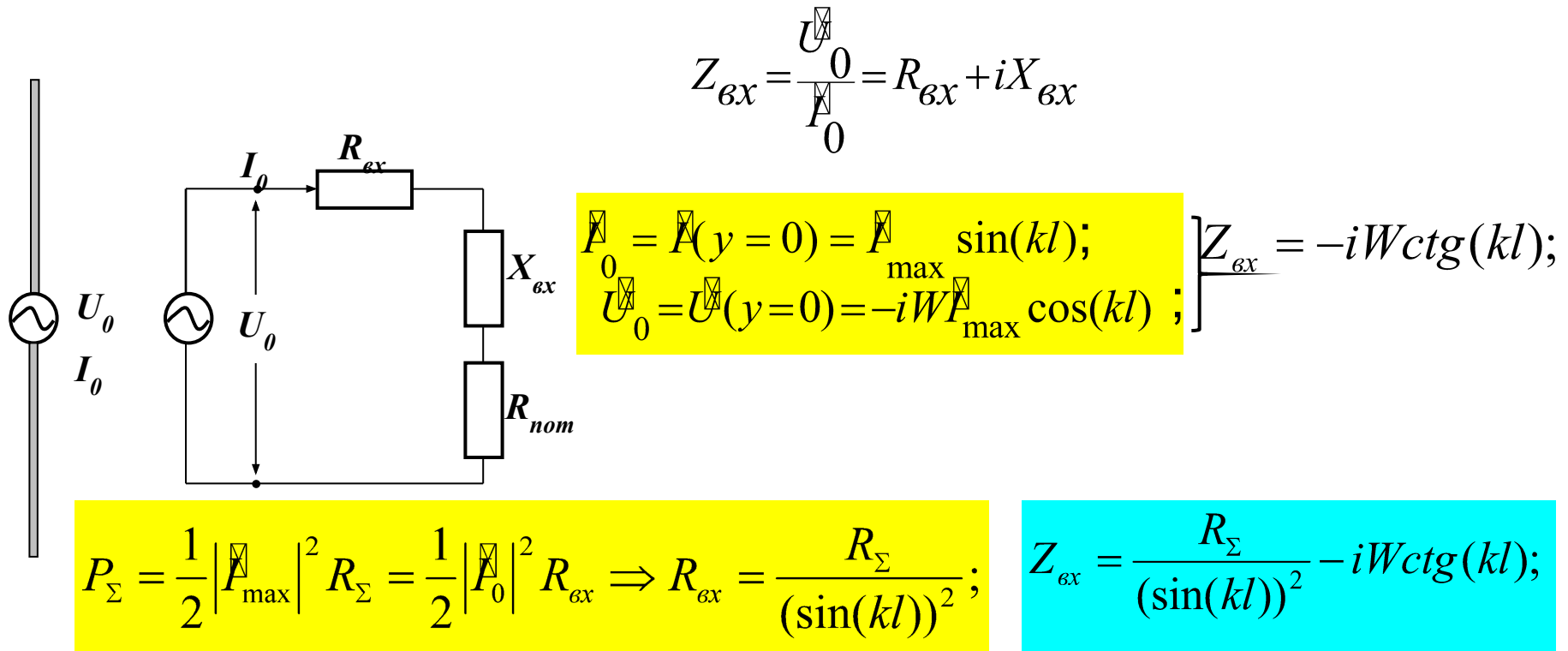
$$P_{\Sigma} = \frac{1}{2} A_{\max}^2 R_{\Sigma}$$

$$R_{\Sigma} = 60 \int_0^{\pi} \frac{(\cos(kl \cos(\theta)) - \cos(kl))^2}{\sin^2(\theta)} d\theta$$

Зависимость сопротивления излучения от соотношения длины волны λ и длины плеча вибратора l .



Определение входного сопротивления антенны

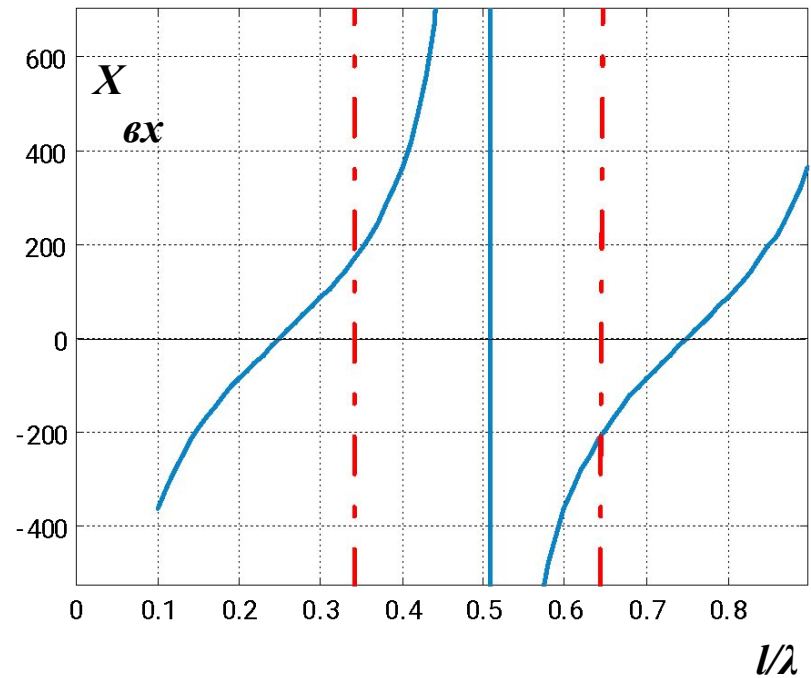
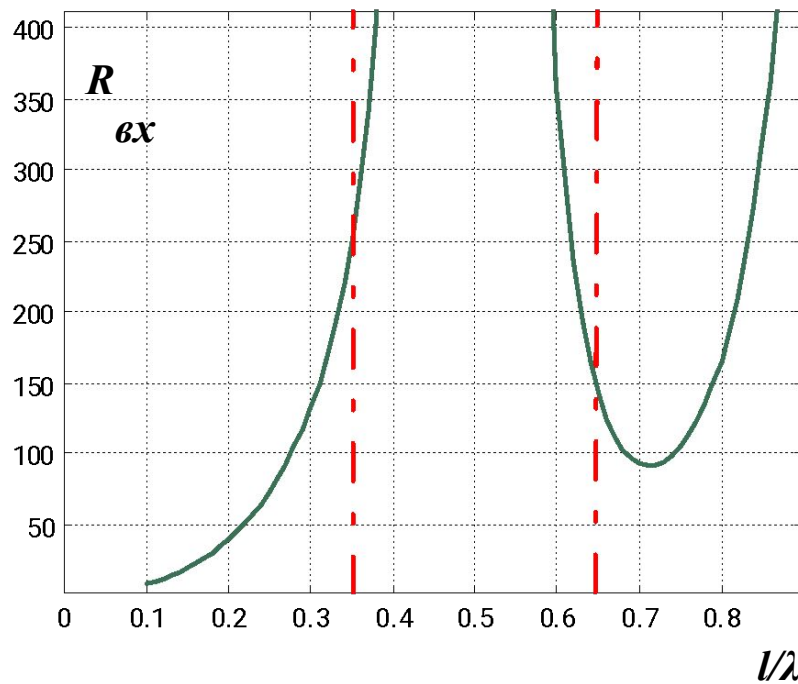


Ток на зажимах антенны равен нулю при $l/\lambda = 0.5; 1; \dots$. Входное сопротивление не может определяться таким способом.

Результаты расчета входного сопротивления по приближенной формуле.

Приближенный расчет входного сопротивления антенны

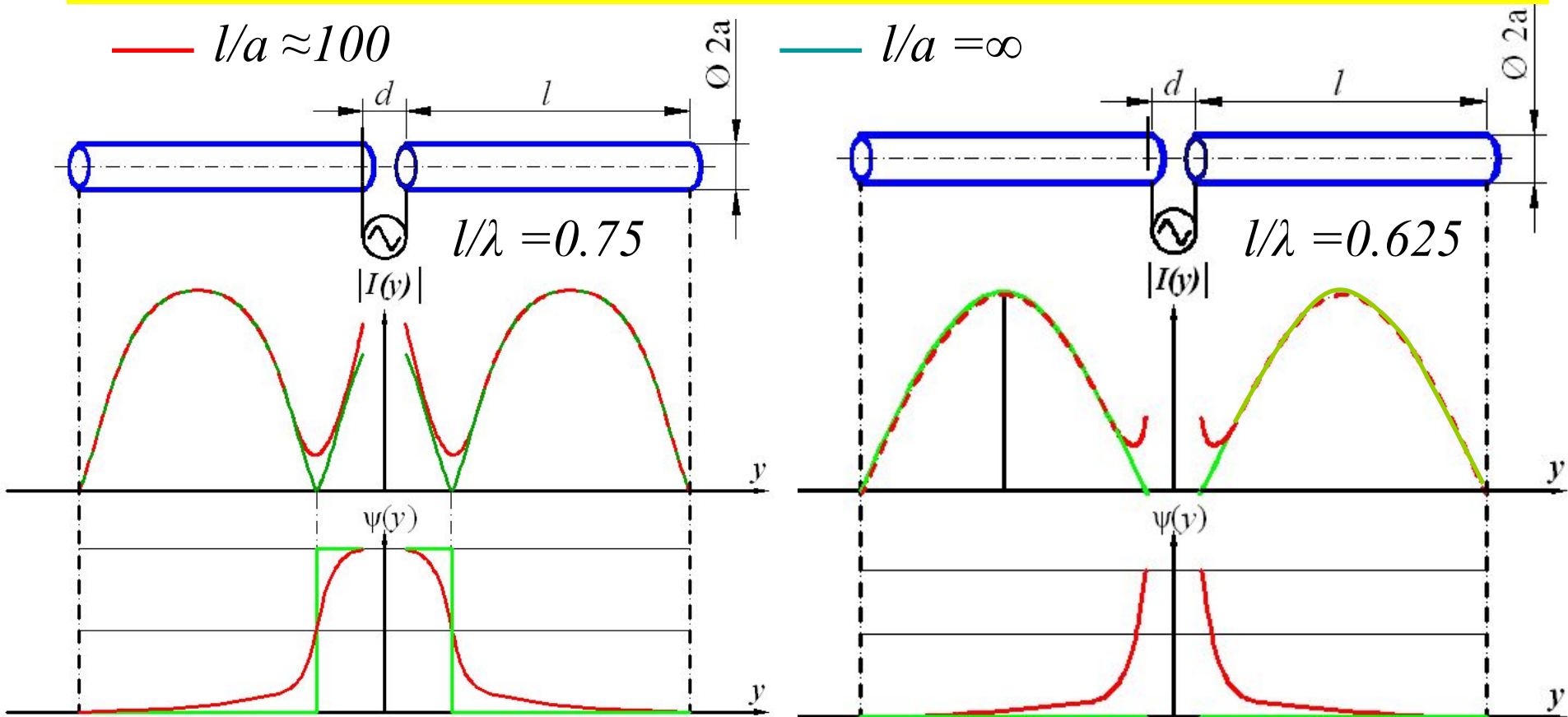
не допустим в окрестности точек $l/\lambda=0.5$; $l/\lambda=1...$



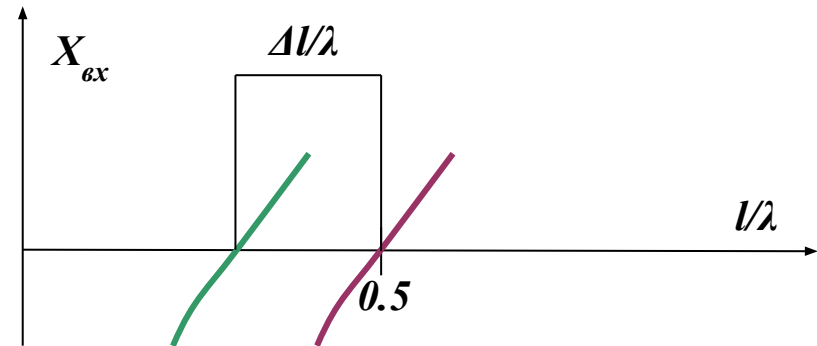
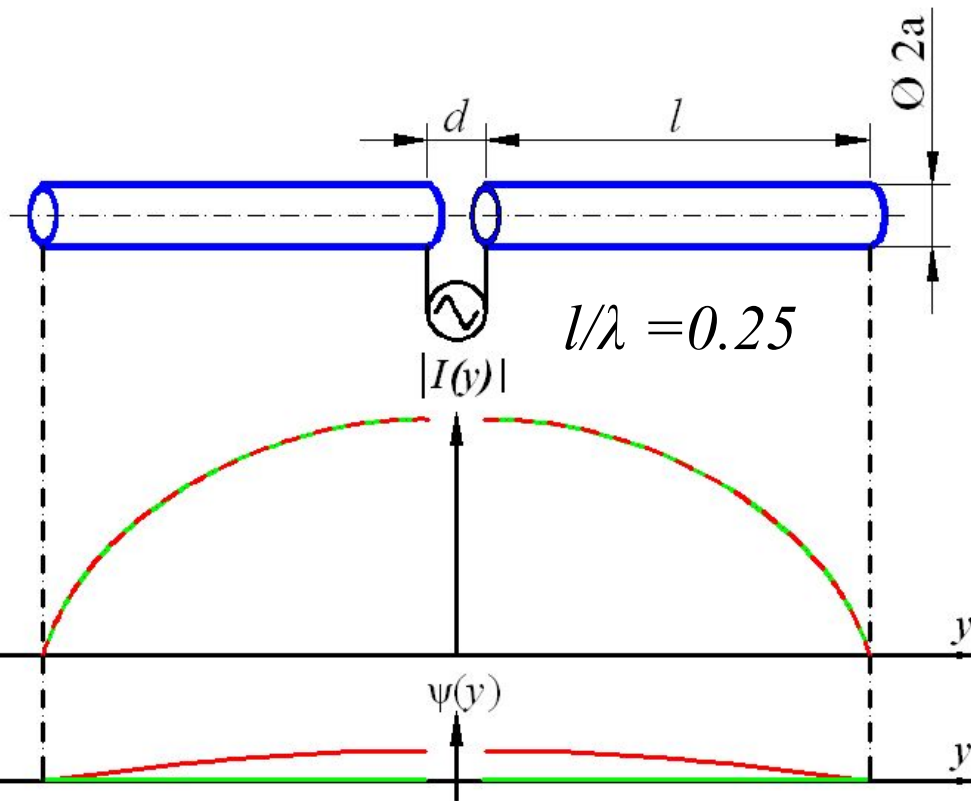
Распределение тока вдоль плеч вибратора. Метод интегрального уравнения.

Метод дает удовлетворительный результат для тонких вибраторов – $l \gg a$.

Вдоль плеч вибраторов фаза тока изменяется – $I(y) = I(y)e^{i\psi(y)}$



Четвертьволновый симметричный вибратор. Укорочение для настройки в резонанс.



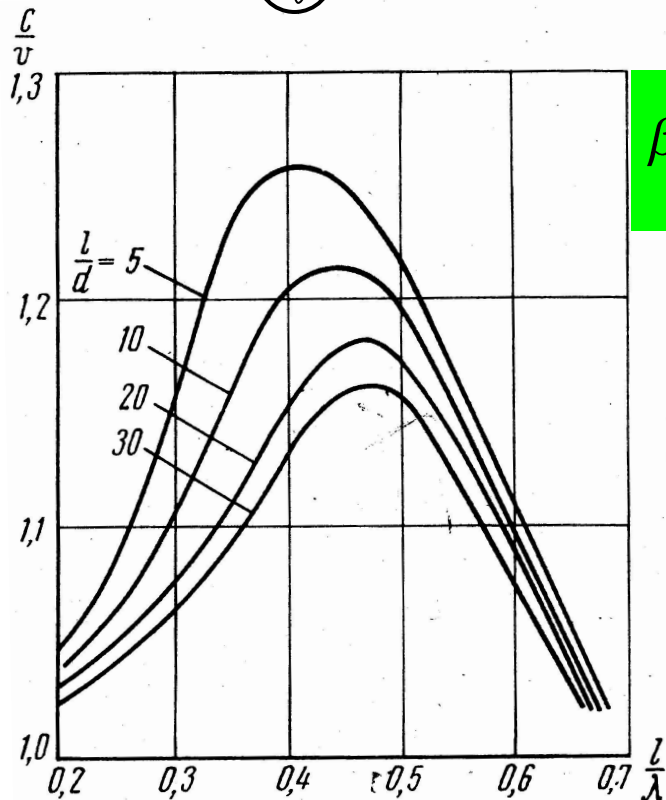
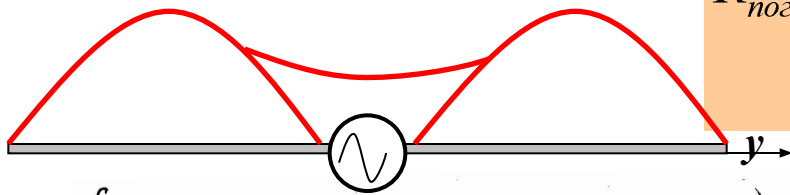
$$Z_{\hat{a}\hat{o}} = (73.1 + i42.5)\hat{I}\hat{i}$$

$$\frac{\Delta l}{l} = -\frac{0.225}{\ln\left(\frac{l}{a}\right)}$$

Расчет входного сопротивления с учетом потерь в эквивалентной длинной линии

$$\tilde{A}(y) = \tilde{A}_{\max} sh(\gamma(l - |y|)); \quad \gamma = (\alpha + i\beta)(1/m);$$

$$R_{noz} = \frac{R_{\Sigma}}{l \left(1 - \frac{\sin(2kl)}{2kl} \right)} \Rightarrow \alpha = \frac{R_{noz}}{W} = \frac{R_{\Sigma}}{Wl \left(1 - \frac{\sin(2kl)}{2kl} \right)}$$

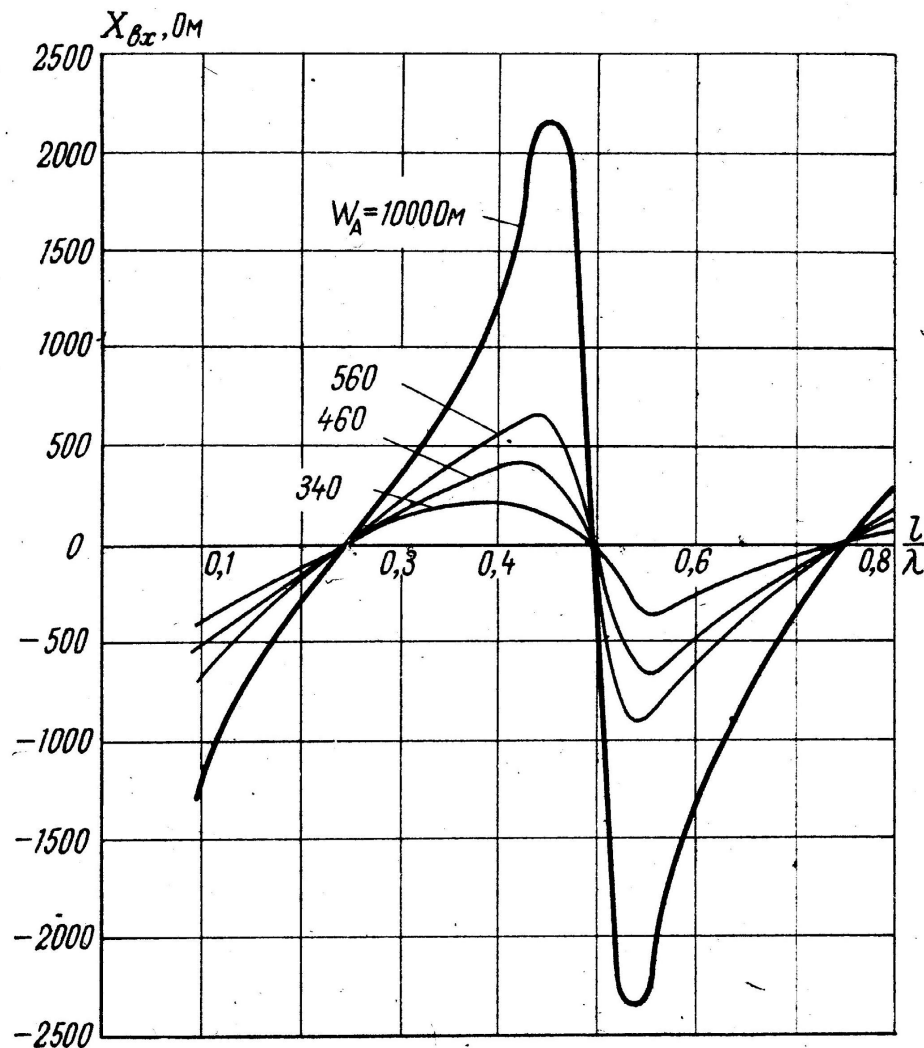
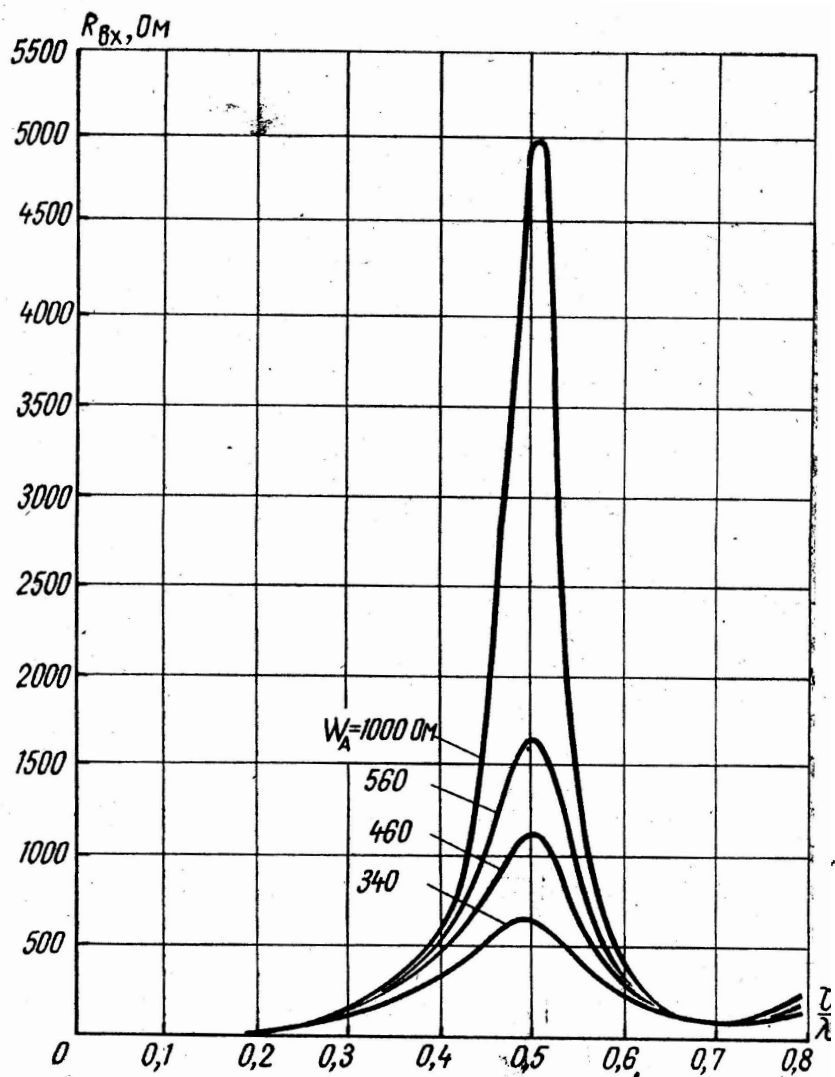


$$\beta = \frac{\omega}{v} > k = \frac{\omega}{c} \Rightarrow \beta = bk; b = \frac{c}{v}$$

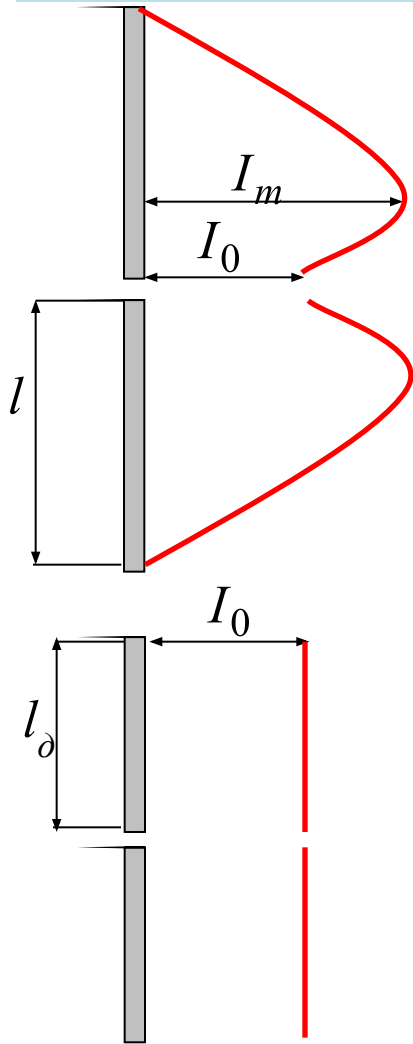
$$R_{ex} = W \frac{sh(2\alpha l) - \frac{\alpha}{\beta} \sin(2\beta l)}{ch(2\alpha l) - \cos(2\beta l)};$$

$$X_{ex} = -iW \frac{\frac{\alpha}{\beta} sh(2\alpha l) + \sin(2\beta l)}{ch(2\alpha l) - \cos(2\beta l)};$$

Результаты расчета входного сопротивления с учетом потерь в эквивалентной длинной линии. Дисперсия не учтена – $b=1$.



Действующая длина симметричного вибратора.



$$E_{\theta} = i60I_m \frac{e^{-ikr}}{r} \frac{\cos(kl \cos(\theta)) - \cos(kl)}{\sin(\theta)};$$

$$E_{\theta} = i30kI_0 \frac{e^{-ikr}}{r} \sin(\theta)l_{\partial};$$

$$I_m = \frac{I_0}{\sin(kl)} \Rightarrow 2 \frac{(1 - \cos(kl))}{\sin(kl)} = kl_{\partial}$$

$$l_{\partial} = \frac{2}{k} \operatorname{tg} \left(\frac{kl}{2} \right)$$